

EUROPEAN STANDARD

EN 14647:2005/AC

NORME EUROPÉENNE

November 2006

EUROPÄISCHE NORM

Novembre 2006

November 2006

ICS 91.100.10

English version
Version Française
Deutsche Fassung

Calcium aluminate cement - Composition, specifications and conformity
criteria

Ciment d'aluminates de calcium -
Composition, spécifications et critères de
conformité

Tonerdezement - Zusammensetzung,
Anforderungen und Konformitätskriterien

This corrigendum becomes effective on 29 November 2006 for incorporation in the three official language versions of the EN.

Ce corrigendum prendra effet le 29 novembre 2006 pour incorporation dans les trois versions linguistiques officielles de la EN.

Die Berichtigung tritt am 29. November 2006 zur Einarbeitung in die drei offiziellen Sprachfassungen der EN in Kraft.



EUROPEAN COMMITTEE FOR STANDARDIZATION
COMITÉ EUROPÉEN DE NORMALISATION
EUROPÄISCHES KOMITEE FÜR NORMUNG

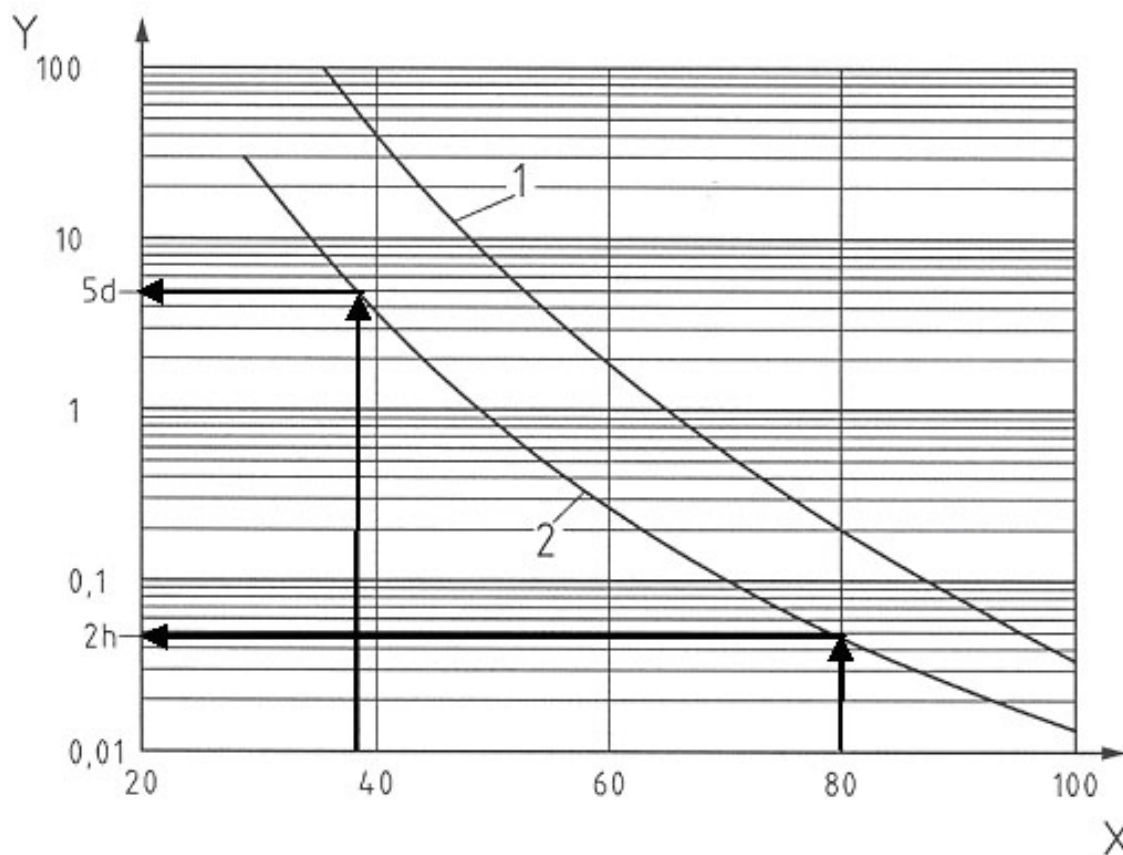
Management Centre: rue de Stassart, 36 B-1050 Brussels

© 2006 CEN All rights of exploitation in any form and by any means reserved worldwide for CEN national Members.
Tous droits d'exploitation sous quelque forme et de quelque manière que ce soit réservés dans le monde entier aux membres nationaux du CEN.
Alle Rechte der Verwertung, gleich in welcher Form und in welchem Verfahren, sind weltweit den nationalen Mitgliedern von CEN vorbehalten.

Ref. No.: EN 14647:2005/AC:2006 D/E/F

English version

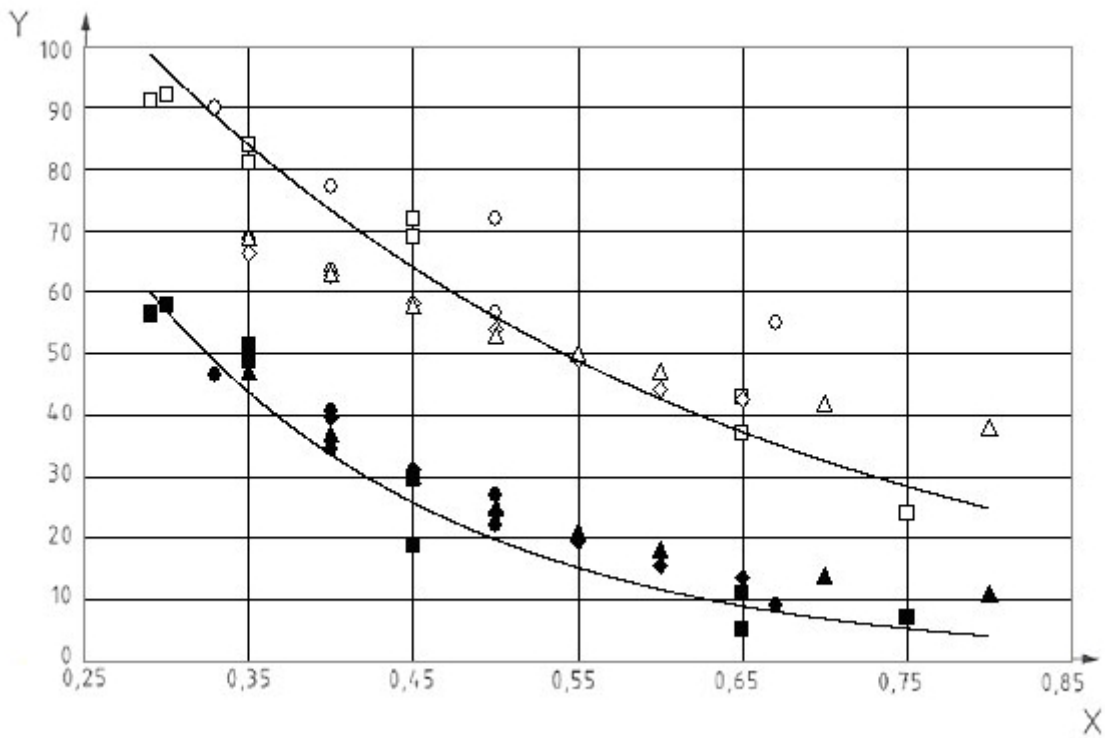
Replace figures A.1 and A.3 by the following:



Key

- 1 Samples were pre-cured for 24 h at 20°C and then cured at the given temperature under water.
- 2 Samples were placed directly under water (without pre-curing) at the given curing temperature.
- Y Time to reach minimum strength (days-log scale)
- X Curing Temperature (°C)

Figure A.1 - Time to reach minimum strength after conversion at different curing temperatures



Key

Y Compressive Strength on cubes (MPa)

X Total Water/Cement Ratio

○ George (1990) - Before conversion

● George (1990) - After conversion

□ Neville (1994) - Before conversion

■ Neville (1994) - After conversion

◇ Robson (1962) - Before conversion

◆ Robson (1962) - After conversion

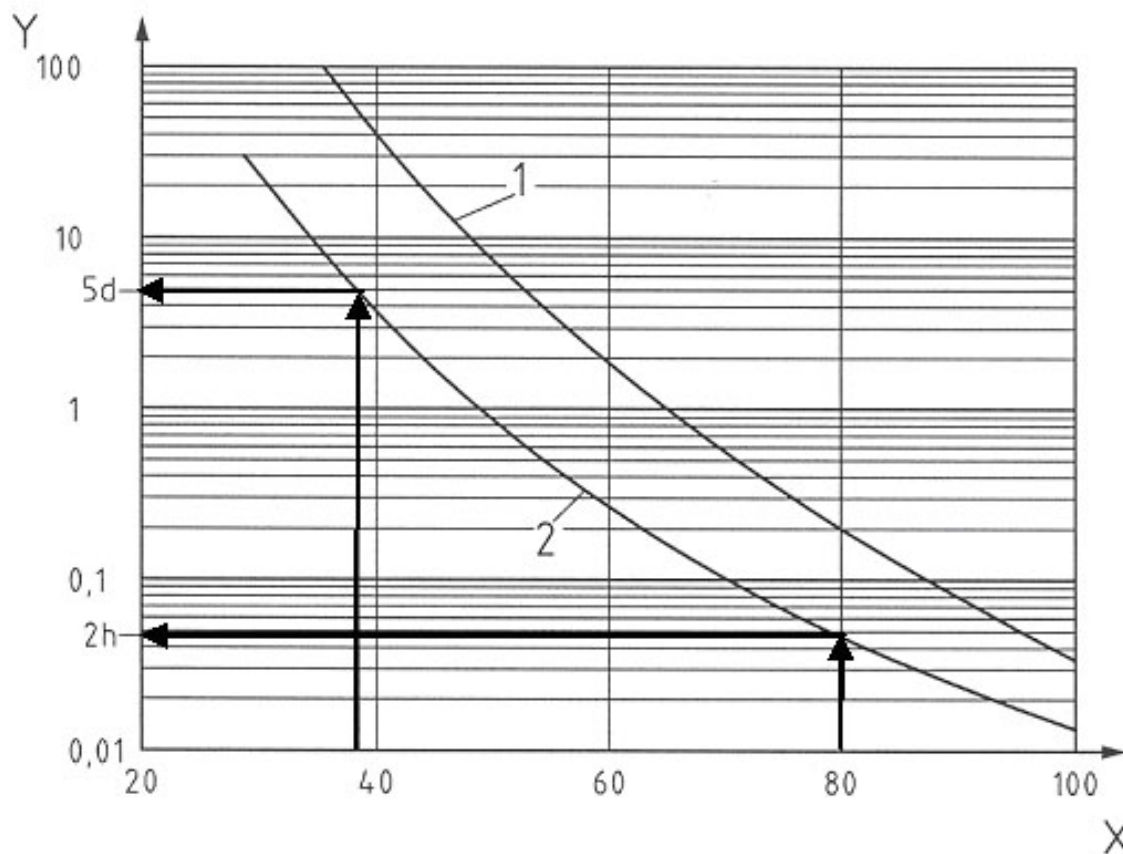
△ BRE (1988) - Before conversion

▲ BRE (1988) - After conversion

Figure A.3 – Relation between total water/cement ratio and compressive strength of CAC concrete before and after conversion

Version française

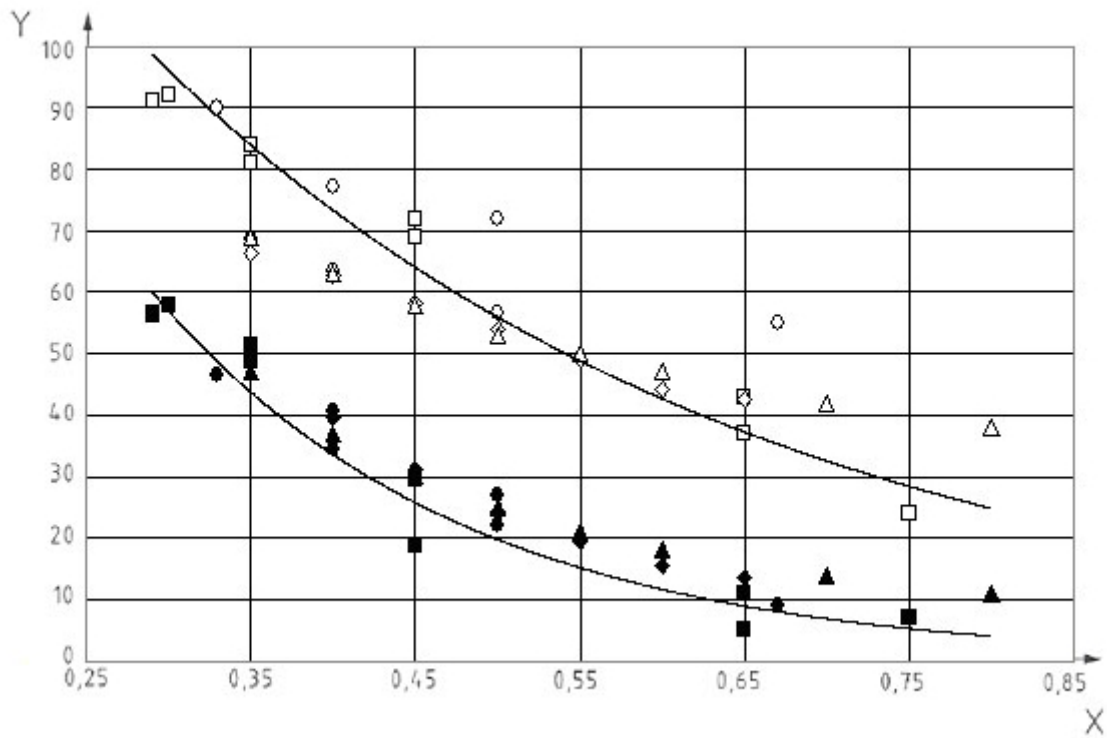
Remplacer les figures A.1 et A.3 par les suivantes:



Légende

- 1 Les échantillons ont été conservés pendant 24 h à 20°C et ensuite dans l'eau à la température donnée.
- 2 Les échantillons ont été placés directement dans l'eau (sans conservation préliminaire) à la température de conservation donnée
- Y Temps pour atteindre la résistance minimale (échelle logarithmique en jours)
- X Température de conservation (°C)

Figure A.1 - Temps pour atteindre la résistance minimale après conversion à différentes températures de conservation



Légende

Y Résistance à la compression sur cubes (MPa)

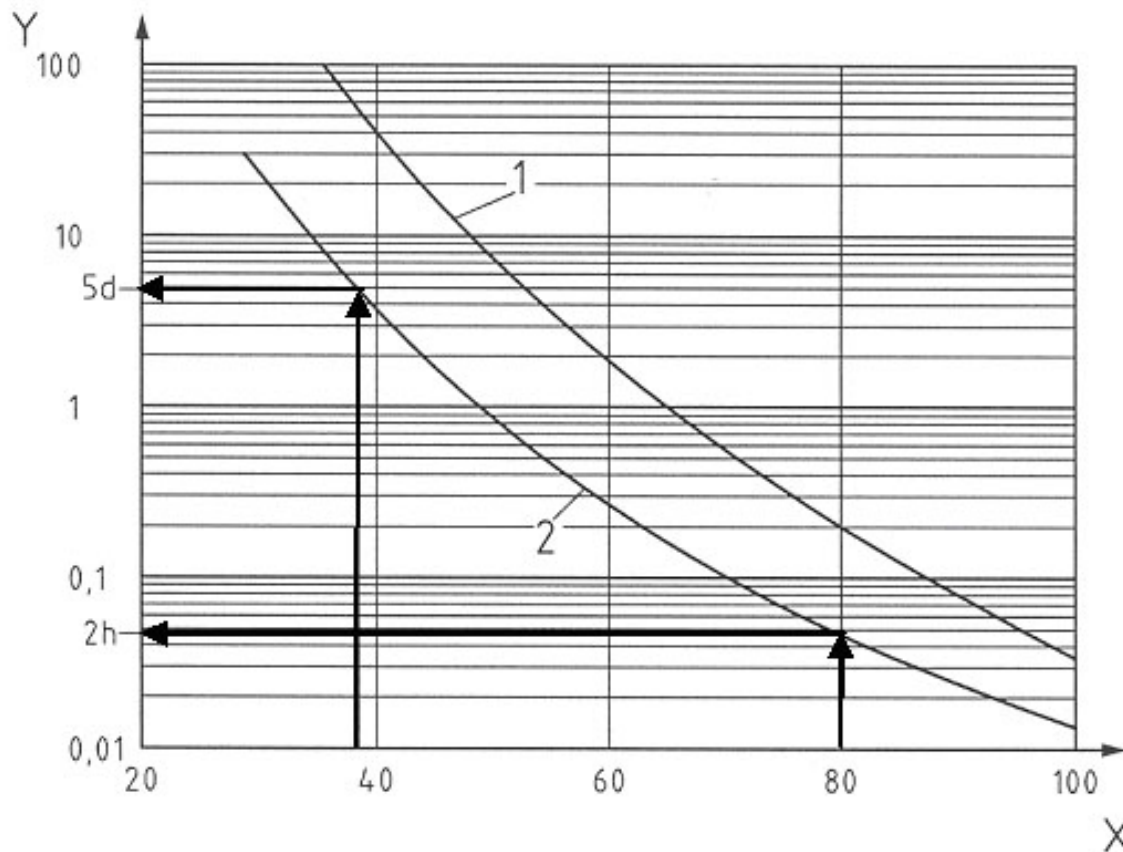
X Rapport eau totale/ciment

- George (1990) - Avant conversion
- George (1990) - Après conversion
- Neville (1994) - Avant conversion
- Neville (1994) - Après conversion
- ◇ Robson (1962) - Avant conversion
- ◆ Robson (1962) - Après conversion
- △ BRE (1988) - Avant conversion
- ▲ BRE (1988) - Après conversion

Figure A.3 – Relation entre le rapport eau totale/ciment et la résistance à la compression du béton de CAC avant et après conversion

Deutsche Fassung

Die Bilder A.1, A.3 und A.4 sind durch die folgenden zu ersetzen:



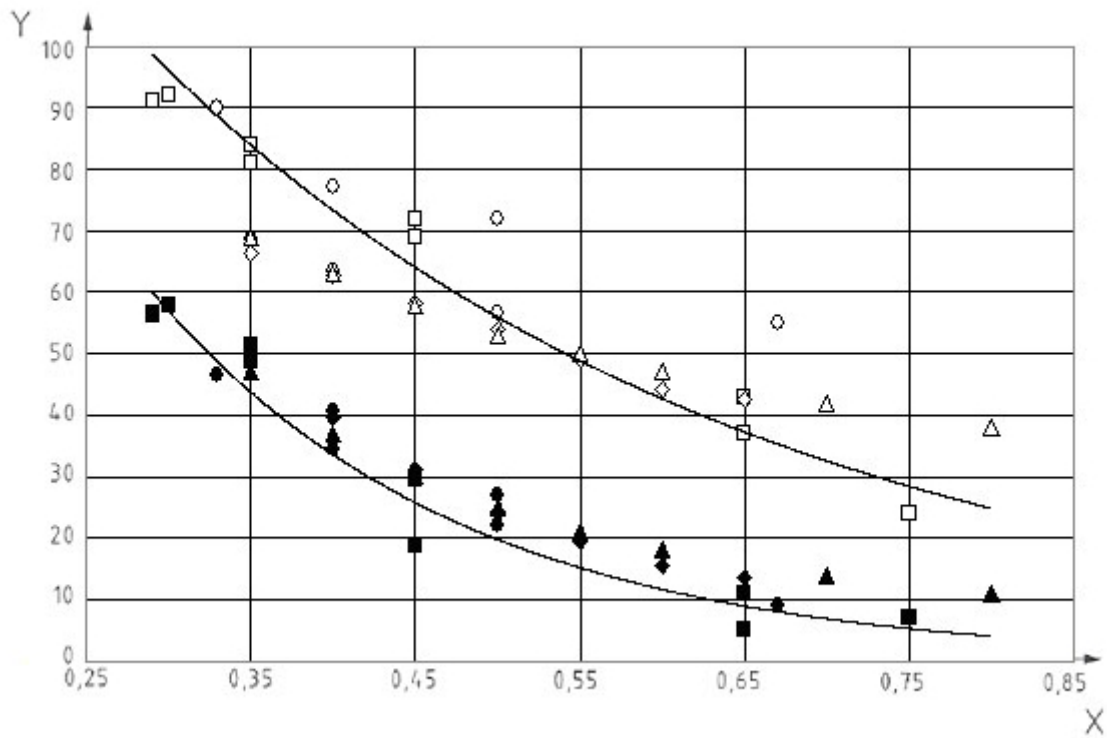
Legende

- 1 Die Proben wurden 24 h bei 20 °C vorgelagert und dann bei der gegebenen Temperatur unter Wasser gelagert.
- 2 Die Proben wurden bei den gegebenen Lagerungstemperaturen direkt unter Wasser gelagert (ohne Vorlagerung).

Y-Achse Zeit bis zur Mindestfestigkeit (Tag-log-Einteilung)

X-Achse Lagerungstemperatur (°C)

Bild A.1 - Zeit bis zur Konversion bei verschiedenen Lagerungstemperaturen

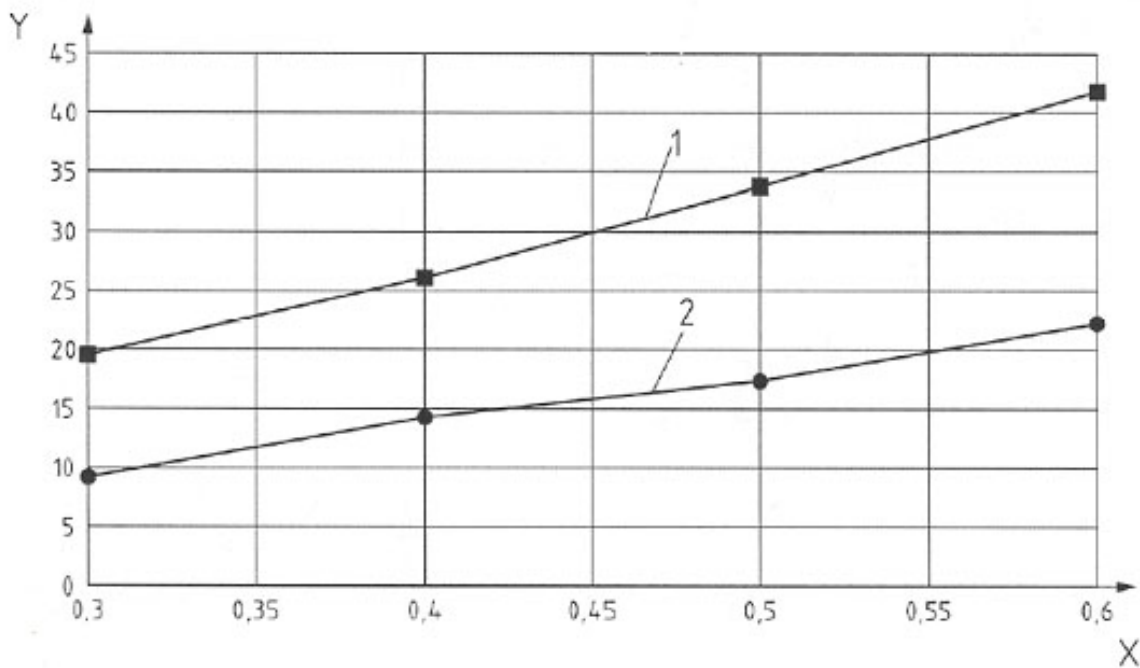


Legende

Y-Achse Würfeldruckfestigkeit (MPa)
 X-Achse Gesamtwasserzementwert

- George (1990) - Vor Konversion
- George (1990) - Nach Konversion
- Neville (1994) - Vor Konversion
- Neville (1994) - Nach Konversion
- ◇ Robson (1962) - Vor Konversion
- ◆ Robson (1962) - Nach Konversion
- △ BRE (1988) - Vor Konversion
- ▲ BRE (1988) - Nach Konversion

Bild A.3 – Beziehung zwischen dem Gesamtwasserzementwert und der Druckfestigkeit von Tonerdezementbeton vor und nach der Konversion



Legende

- 1 Nach Konversion
- 2 Vor Konversion
- Y-Achse Quecksilber-Eindrück-Porosität in %
- X-Achse Wasserzement

Bild A.4 — Beziehung zwischen dem Wasserzementwert und der Porosität von Tonerdezementstein